

В первом случае изучалась связь между различными сериями измерения угла [1], во втором — между коэффициентами рефракции направлений [2].

Оценку точности коэффициента Фехнера производили по разностям

$$\delta = i_{\Phi} - r, \quad m_{i_{\Phi}} = \pm \sqrt{\frac{[85]}{n}}, \quad (2)$$

где i_{Φ} — коэффициент Фехнера; r — коэффициент корреляции. Оценка точности в первом случае дала результат $m_{i_{\Phi}} \approx \pm 0,22$, во втором $m_{i_{\Phi}} \approx \pm 0,16$. Таким образом, с увеличением выборки

Таблица 1
Сравнение эмпирического коэффициента корреляции с коэффициентом Фехнера в случае небольших выборок

Номер выборки	i_{Φ}	r	Номер выборки		i_{Φ}	r		
			i_{Φ}	r				
1	0,22	0,38	11	0,11	0,38	11	0,83	
2	0	0,21	12	0,33	0,25	12	0,79	
3	0,22	0	13	0,33	0,21	13	0,70	
4	0	14	0	0	0,42	0,59	0,84	
5	-0,11	15	0,11	0,38	0,42	0,59	0,89	
6	0,33	0,38	16	-0,11	0,25	14	0,77	0,90
7	0,11	0,25	17	0,22	0,21	15	0,41	0,61
8	0,11	0,21	18	0,55	0,38	16	0,51	0,75
9	0,33	0	19	0,25	0,70	17	0,70	0,78
10	0,22	0	20	0,38	0,84	18	0,48	0,70

точность увеличивается. Необходимо, правда, отметить тенденцию занижать степень тесноты связи по сравнению с коэффициентом корреляции.

Коэффициент Фехнера по сравнению с коэффициентом корреляции вычисляется в 3—5 раз быстрее. Эффективность вычисления i_{Φ} по сравнению с r увеличивается с увеличением объема выборки. Так, даже для очень больших выборок коэффициент Фехнера можно вычислить сравнительно быстро. Достоверность его может удовлетворить, на наш взгляд, те стороны геодезической вычислительной практики, где не нужно знать степень коррелированности с большой точностью. Кроме того, вычисление i_{Φ} перед вычислением коэффициента корреляции покажет, какого результата ожидать при дальнейших расчетах.

Список литературы: 1. Кемпич Ю. В. Обработка зависимых результатов измерений. — М.: Недра, 1970. — 188 с. 2. Мишаль Н. К., Хильдик Л. С. Исследование статистических зависимостей между коэффициентами рефракции различных направлений. — Годзеля, картография и аэрофотосъемка, 1973, вып. 18, с. 34—38. 3. Ферстер Э., Реник Б. Методы корреляционного и регрессионного анализа. — М.: Финансы и статистика, 1983. — 302 с.

УДК 528.024.187.4:522.92
А. Л. ОСТРОВСКИЙ, И. И. СТАШИШИН, А. И. ТЕРЕЩУК

ИЗЫСКАНИЕ ЭФФЕКТИВНЫХ МЕТОДОВ УЧЕТА НИВЕЛИРНОЙ РЕФРАКЦИИ

Таблица 2
Сравнение эмпирического коэффициента корреляции с коэффициентом Фехнера в случае больших выборок

Номер выборки	i_{Φ}	r	Номер выборки		i_{Φ}	r
			i_{Φ}	r		
1	0,42	0,59	11	0,83	0,84	0,84
2	0,14	0,04	12	0,79	0,89	0,89
3	0,10	0,33	13	0,70	0,81	0,81
4	0,88	0,83	14	0,77	0,90	0,90
5	0,67	0,90	15	0,41	0,61	0,61
6	0,63	0,89	16	0,51	0,75	0,75
7	0,22	0,88	17	0,70	0,78	0,78
8	0,55	0,38	18	0,68	0,85	0,85
9	0	0,25	19	0,84	0,89	0,89
10	0,22	0,38	20	0,80	0,85	0,85

В соответствии с программой развития нивелирной сети в СССР до 1990 г. предусматривается использование результатов нивелирования при решении важных народнохозяйственных проблем, таких как переброска части стока северных рек в бассейн Волги; изучение современных вертикальных движений земной коры; комплексные исследования Мирового океана, для чего планируется проложение нивелирных ходов I класса вдоль побережья Тихого и Северного Ледовитого океанов, выявление вертикальных смешений зданий, сооружений и агрегатов промышленных предприятий и ряда других проблем.

Для успешного решения намеченной программы развития нивелирной сети перед советскими геодезистами стоят сложные задачи повышения производительности и точности прецизионных нивелирных работ.

Одной из причин, ограничивающей отрезки времени суток, когда возможно вести нивелирование I и II классов, а также иска- жающей результаты нивелирования наиболее нежелательными систематическими ошибками, является неоднородность атмосферы, особенно в нижнем трехметровом слое воздуха — в слое нивелирования. Неоднородность атмосферы по плотности вызывает ее турбулентное перемещение и нивелирную рефракцию.

С целью ослабления погрешностей, вызываемых рефракцией, а также турбулентностью, проявляющейся колебанием изображений штириков нивелирной рейки и затрудняющей точное наведение биссектора трубы нивелира на штирик рейки, действующей инструкцией предусмотрено выполнять наблюдения только в утренние и послеполуденные периоды, «причем начинать их через полчаса после восхода Солнца и заканчивать за час до его захода» [3, с. 33]. Кроме того, не разрешается выполнять нивелирование при колебаниях изображения.

Преодоление барьера неоднородности атмосферы позволило бы повысить производительность труда и точность нивелирования. Поэтому не случайно явление нивелирной рефракции изучается уже более 100 лет, а колебания изображений около 135 лет. Первые исследования нивелирной рефракции принадлежат русским ученым Н. Я. Цингеру (1872 г.), Д. Д. Гедеонову (1884 г.) [1].

Еще раньше в 1849 г. В. Я. Струве [8] обратил внимание на то, что существует связь между рефракцией и колебаниями изображений видирных цепей. На основании работ В. Я. Струве и И. И. Померанцева [6], относящихся к тригонометрическому нивелированию, можно сделать следующие выводы:

1. Рефракционные аномалии (разности между действительными и нормальными значениями рефракций, называемые В. Я. Струве

ве угловыми пертурбациями) зависят от характера изображений визирных целей.

2. Рефракционные аномалии — линейные функции достоинства изображений. Они пропорциональны расстояниям от визирной цели до прибора. Эти крайне важные выводы справедливы и для нивелирной рефракции.

Важнейшими этапами исследования нивелирной рефракции следует считать установление характера действия рефракционных погрешностей; разработку методов и формул учета рефракции.

К настоящему времени можно считать окончательно установленным, что рефракция носит преимущественно систематический, а не случайный характер. Последнее особенно важно на за-тяжких склонах, когда действие рефракции весьма опасно.

Наиболее совершенными формулами учета рефракции по измеренным метеоэлементам следует считать формулы, предложенные в [4], [5] и [2]. Первая из них имеет вид

$$\epsilon_{\text{мм}} = -0.00108 \frac{B}{760} \cdot \frac{t_1 - t_3}{(1 + \alpha t^2)} \left[\frac{L^2}{h} \cdot \frac{1 - \tau}{12} + \frac{(1 - \tau)^2}{24} \right], \quad (1)$$

где B — атмосферное давление, L — расстояние между рейками в метрах, $\alpha = 0.00366$; t_1, t_2, t_3 — температура воздуха на высоте визирного луча у задней рейки, у нивелира и у передней рейки

$$\tau = (t_3 - t_2)/(t_2 - t_1).$$

Формула, взятая из работы [5], записывается компактней

$$\Delta \rho = 1 \cdot 10^{-5} \cdot \gamma \cdot \frac{S^2}{50} \cdot (t_2 - t_1) \cdot h. \quad (2)$$

Здесь S — длина визирного луча, м; $(t_2 - t_1)$ — разность температур на высотах 0,5 и 2,5 м; h — превышение; γ — величина, вы-бираемая из таблиц и зависящая от температуры приземного слоя воздуха. Наконец, формула из [2] имеет вид

$$\Delta h_T = 0.0548 \cdot S^2 \cdot \frac{B}{T^2} \cdot \frac{\Delta T}{\ln Z_b/Z_n} \left(\frac{1}{h_{s_3}} - \frac{1}{h_{s_1}} \right), \quad (3)$$

где ΔT — разность температур, измеренных на высоте Z_n и Z_b нижнего и верхнего отсчетов по рейкам; h_{s_1} и h_{s_3} — эквивалентные высоты луча на заднюю и переднюю рейки; T — абсолютная температура воздуха.

В табл. 1 приведены результаты вычислений нивелирной рефракции по этим трем формулам. Результаты заимствованы из [7]. Экспериментальные исследования выполнены в июле 1979 г. Нивелиром НА-1 проводили систематические наблюдения на одной и той же нивелирной станции. Длина плеч нивелирования ста-дартная 50 м, превышение 2,4 м. На высотах прохождения визирного луча 0,5 и 2,9 м, а также на высоте прибора 1,6 м измеряли температуру и давление воздуха.

В табл. 1 приведены средние результаты наблюдений за два дня. Каждый час выполняли (только по основным шкалам) 9—10 наблюдений превышений и метеоэлементов. Измеренную рефракцию определяли как разность превышений, измеренных ста-дартным и коротким лучем (длиной 16,6 м). Точность измеренной рефракции оценивается средней квадратической ошибкой 0,035 мм. Точность вычисления рефракции по формулам (1), (2), (3) составляет соответственно (без погрешностей измеренной рефракции): 0,085, 0,056 и 0,044 мм.

Таблица 1
Значение нивелирной рефракции (мм) при неустойчивой температурной стратификации, полученное из измерений и по формулам (1), (2), (3)

рефракция	время							
	9	10	11	12	14	15	16	17
Измеренная	0,11	0,16	0,22	0,30	0,35	0,32	0,23	0,18
Вычисленная по (1)	0,10	0,12	0,16	0,18	0,19	0,22	0,20	0,19
Вычисленная по (2)	0,12	0,17	0,19	0,23	0,26	0,24	0,22	0,20
Вычисленная по (3)	0,18	0,26	0,33	0,33	0,38	0,35	0,30	0,23
								0,16

Сравнительно высокая точность определения рефракции по формулам получилась благодаря усредненным измеренным метео-элементам (усреднено 18—20 измерений).

В действительности при нивелировании на отдельной станции измерение метеоэлементов будет менее надежным, поскольку оказывается не 20 измерений, а вероятнее всего два. Следовательно, полученные погрешности определения рефракции необходимо по крайней мере утроить. Тогда даже самая точная формула (3) дает погрешность 0,132 мм, т. е. во многих случаях погрешность такая же, как и рефракция. К тому же вычисления рефракции требуют определения эквивалентной высоты луча на каждом плече.

В этой связи следует признать актуальными поиски новых методов учета нивелирной рефракции.

Весьма эффективным, как с точки зрения учета рефракции, так и расширения периодов суток, в которые появляется возмож-ность вести нивелирование, является метод, основанный на свойстве атмосферы стремиться под действием силы тяжести к устой-чивому равновесию и даже при сверхдиабатических вертикаль-ных градиентах температуры достичь безразличного, равновесного состояния (нейтральной стратификации).

Равновесному состоянию (короткие периоды наилучшей види-мости утром и вечером) соответствует нормальная рефракция, которая (при равных плечах) одинаково искажает отсчет по зад-

ней и передней рейке и не влияет на превышение. К сожалению указаные периоды составляют при ясной погоде 15...20 мин.

Дальнейший нагрев Солнцем земной поверхности, а затем нижних частичек воздуха ведет к тому, что силы нагретые частички под действием выталкивающей силы поднимаются вверх, попадают в более холодные слои и под действием силы тяжести снова опускаются вниз, стремясь достичь устойчивого равновесия из-за выталкивающего действия сил частичкам удается до-

стичь только положения, существующего при равновесной стратификации.

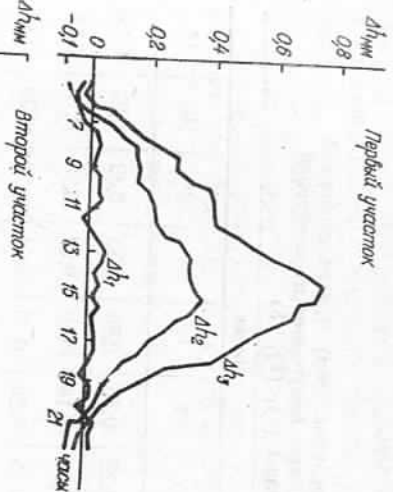
В поле зрения трубы описанные движения частичек воздуха проявляются как колебания штрихов рейки со всевозрастающей амплитудой A_t . При этом, несмотря на возрастание амплитуды, нижние пики колебаний (в трубе с обратным изображением — верхние пики) будут находиться на одном уровне (на уровне, который соответствует равновесной стратификации воздуха).

Этому уровню, как уже говорилось, соответствует нормальная стратификация. Следовательно, если бы наблюдатель улавливал это нижнее (в трубе — верхнее) положение штриха рейки, то результаты нивелирования были бы свободны от нивелирной рефракции. Наоборот, если бы наблюдатель улавливал верхнее положение штриха (в трубе — нижнее), результаты наблюдений были бы обретены двойным значением рефракции. Так как наблюдатель улавливает среднее положение колеблющегося штриха, то наблюдения превышения отягощены дифференциальной рефракцией. Такова основа метода.

На рисунке показаны результаты описанных выше закономерностей действия нивелирной рефракции, выполненной в августе 1980 г. На этом рисунке

$$\Delta h_1 = h_1 - h_{\text{ср}}, \Delta h_2 = h_2 - h_{\text{ср}}, \Delta h_3 = h_3 - h_{\text{ср}}. \quad (4)$$

Эталонные превышения $h_{\text{ср}}$ получены коротким лучом; h_1, h_2, h_3 получены стандартным лучом, когда фиксировали верхнее (видимое в трубе), среднее (как обычно) и нижнее положения колеблющегося штриха рейки соответственно; $\Delta h_1, \Delta h_2, \Delta h_3$ — значения



Измерение рефракции в превышениях на протяжении для различных методах наблюдений.

Наблюдатель улавливал верхнее положение штриха рейки, то результаты нивелирования были бы свободны от нивелирной рефракции. Наоборот, если бы наблюдатель улавливал верхнее положение штриха (в трубе — нижнее), результаты наблюдений были бы обретены двойным значением рефракции. Так как наблюдатель улавливает среднее положение колеблющегося штриха, то наблюдения превышения отягощены дифференциальной рефракцией. Такова основа метода.

На рисунке показаны результаты описанных выше закономерностей действия нивелирной рефракции, выполненной в августе 1980 г. На этом рисунке

нивелирной рефракции в различные часы дня и при разных методах наблюдений.

Как видим, значения Δh_1 не превышают погрешностей измерений в течение всего дня; Δh_2 в два раза больше Δh_2 при амплитуде колебаний штриха до 2,8 мм (до 12...13 ч). При амплитудах более 2,8 мм (14...17 ч) такая закономерность несколько нарушается, что вполне объясняется понижением точности отсчетов сильно колеблющихся штрихов рейки.

Таким образом, в цепном фиксации верхнего положения колеблющихся штрихов рейки ведет не только к исключению рефракции, но и позволяет удлинить время производства высокоточного нивелирования.

Для более детального изучения процесса о возникновении изображения вре- мени производства нивелирования необходимо исследовать характер зависимости точности отсчетов штрихов рейки от амплитуды колебания этих штрихов. Так как фиксация колеблющихся штрихов в каждом приеме производилась дважды, то это позволяет оценить точность отсчетов при превышений по формуле двойных измерений

$$m_h = \sqrt{|\Delta \Delta| / 2n}. \quad (5)$$

Результаты вычислений приведены в табл. 2. Из таблицы следует, что точность фиксации верхнего и среднего положения штрихов рейки примерно одинаковая; при увеличении амплитуды колебаний с 0,6 мм до 2,5 мм ошибка превышения увеличивается примерно только на 15...20%; средняя квадратическая ошибка превышения из приема при амплитуде колебаний 0,6 до 2,5 мм составляет 0,094 мм; при нивелировании I класса, когда будут отсчитываться основная и дополнительная шкалы, с учетом левой и правой нивелировки средняя квадратическая ошибка на станции составит около 0,05 мм. Такая погрешность вполне удовлетворяет действующую инструкцию по нивелированию.

Предлагаемый метод позволяет вести нивелирование и учитывать рефракцию начиная с окончания утренних периодов спокойных изображений до 12 ч и начиная с 15 ч до начала периода спокойных изображений в вечернюю видимость. В периоды равновесной атмосферы целесообразно вести нивелирование обычным методом. При этом следует опасаться инверсионной стратификации воздуха.

Список литературы: 1. Геденов Д. Д. О выгоднейшем способе нивелирования. — Записи ВТО Главного штаба. СПб., 1884, ч. 34. — 32 с. 2. Джордан М. Павлов П. В. Стационар И. И. Метод определения нивелирной ре-

Фракции. — Геодезия, картография и аэрофотосъемка, 1979, вып. 30, с. 66—69.
 3. Инструкция по нивелированию I, II, III, IV классов. — М.: Недра, 1974.—
 160 с. 4. Красовский Ф. Н. О временной постановке высокоточного и точного
 нивелирования. — М.: Геодезиздат, 1956, т. 2. — 557 с. 5. Куккяляки Т. Н.
 Формулы и таблицы для вычисления нивелирной рефракции. — Публикации
 финского геодезического института, 1939, № 27, с. 18—25. 6. Померанцев Н. А.
 Исследование землой рефракции. — Приложение к 18-му тому Записок Академии
 наук, 1884, № 3. — 76 с. 7. Стационар И. И. Разработка и исследование
 методов учета нивелирной рефракции в турбулентной атмосфере: Автореф. дис.
 канд. техн. наук. — Днепропетровск, 1983. — 24 с. 8. Struve W. Beschreibung der zur
 Ermittlung des Höhenunterschiedes dem Schwarzen und dem Caspischen Meere...
 ausgeführten Messungen. СПб., 1849. — 150 S.

Статья поступила в редакцию 14.01.85

УДК 528.44

Л. Н. ПЕРОВИЧ, Е. Ю. ИЛЬКИВ

ОБ ОЦЕНКЕ ТОЧНОСТИ ГЕОМЕТРИЧЕСКОГО НИВЕЛИРОВАНИЯ В ПРОИЗВОДСТВЕННЫХ ПОМЕЩЕНИЯХ ГАЗОКОМПРЕССОРНЫХ СТАНЦИЙ МАГИСТРАЛЬНЫХ ТРУБОПРОВОДОВ

Среди задач, решаемых прикладной геодезией, важное место принадлежит определению деформаций инженерных сооружений и оборудования, обусловленных осадками. Наиболее распространенным методом определения осадок является высокоточное геометрическое нивелирование короткими лучами [2, 4]. При этом возникают трудности в оценке точности измеренных величин, связанные прежде всего с тем, что нивелирование выполняется в различных специфических условиях. Например, в цехах газокомпрессорных станций (ГКС) к таким факторам следует отнести: стесненные условия, что приводит к значительным неравенствам плеч (до 10 м) на станции; плохую освещенность; влияние вибрации работающих механизмов; неравномерное тепловое поле. Поэтому использование инструкций [5] не всегда приемлемо.

Нами поставлена задача произвести оценку точности и установить допуски для производства высокоточного геометрического нивелирования в производственных помещениях ГКС магистральных газопроводов. Для решения этой задачи использован производственный материал, накопленный при наблюдении за деформациями инженерных сооружений газопроводов «Союз», «Братство», «Уренгой—Ужгород». Измерения проводили нивелиром НА-1 и одной инварной рейкой при двух горизонтах прибора [2].

Для оценки использованы разности превышений и высот нулей шкал реек, измеренных на станции, а также невязки ходов. Все данные были разбиты на четыре группы в зависимости от условий наблюдений:

- газогенерные цехи (ГГЦ) газопровода «Союз» (с агрегатами ГГЦ-10 и);

- ГГЦ газопровода «Братство» (с агрегатами ГГК-10);
 - газокомпрессорные цехи (ГКЦ) газопровода «Братство» (с установками МК-8);
 - ГГЦ газопровода «Уренгой—Ужгород» (с агрегатами ГГК-25-И).
- Обработка по разностям двойных равноточных * измерений включала [1]:
- вычисление разностей d_i превышений h_1 и h_2 , измеренных при двух горизонтах на i -й станции нивелирования

$$d_i = h_1 - h_2; \quad (1)$$

- исключение грубых ошибок;
- выявление систематических ошибок по критерию

$$|d_i| \leqslant 0,25 |d|. \quad (2)$$

В случае невыполнения условия (2) находят остаточную систематическую ошибку

$$\delta_{\text{ср}} = \frac{|d|}{n}, \quad (3)$$

где n — число двойных разностей.
 Средняя квадратическая ошибка превышения составляет

$$m_h = \frac{1}{2} \sqrt{\frac{[d^2]}{n}}, \quad (4)$$

а в случае невыполнения условия (2) —

$$m_h = \frac{1}{2} \sqrt{\frac{[d'^2]}{n}}, \quad (5)$$

где $d' = d_i - \delta_{\text{ср}}$.

Для оценки точности по разностям двойных измерений использовано 574 пары превышений, измеренных в ГГЦ «Союз», 547 — в ГГЦ «Братство» и 130 — в ГГЦ «Уренгой—Ужгород». Полученные средние квадратические ошибки (табл. 1) измеренных превышений хорошо отражают условия наблюдений. Так, в ГГЦ газопровода «Союз» по сравнению с ГГЦ «Братство» значительно лучше освещенность, более стабильное температурное поле, меньше влияние вибрации. Систематических ошибок по критерию (2) не обнаружено.

Оценка точности нивелирования по невязкам проводилась по следующей программе [1]:

* Результаты, полученные при обработке измерений как неравноточных (с выбором весов в зависимости от длины и разности плеч на станции), существенно не отличаются от полученных значений для равноточных измерений. Это связано с тем, что помимо длины плеч на точность измерений значительно влияют другие факторы (температуры воздействия, неравномерное тепловое поле, вибрация и т. д.), учет которых при выборе весов трудно.